

IR/461402

Figure 3

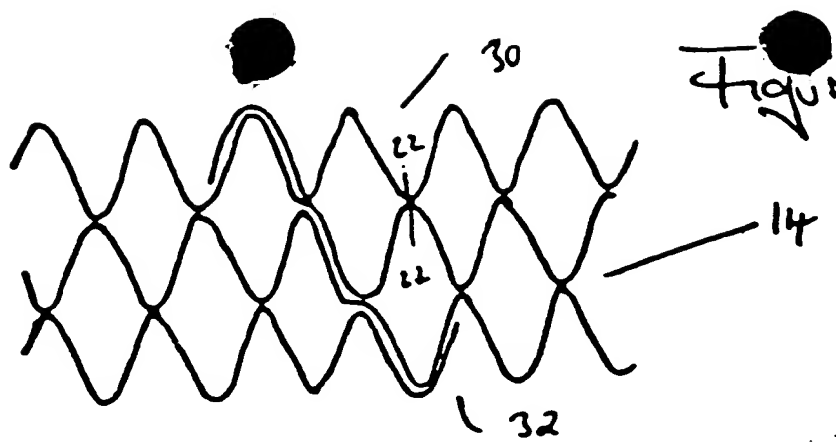
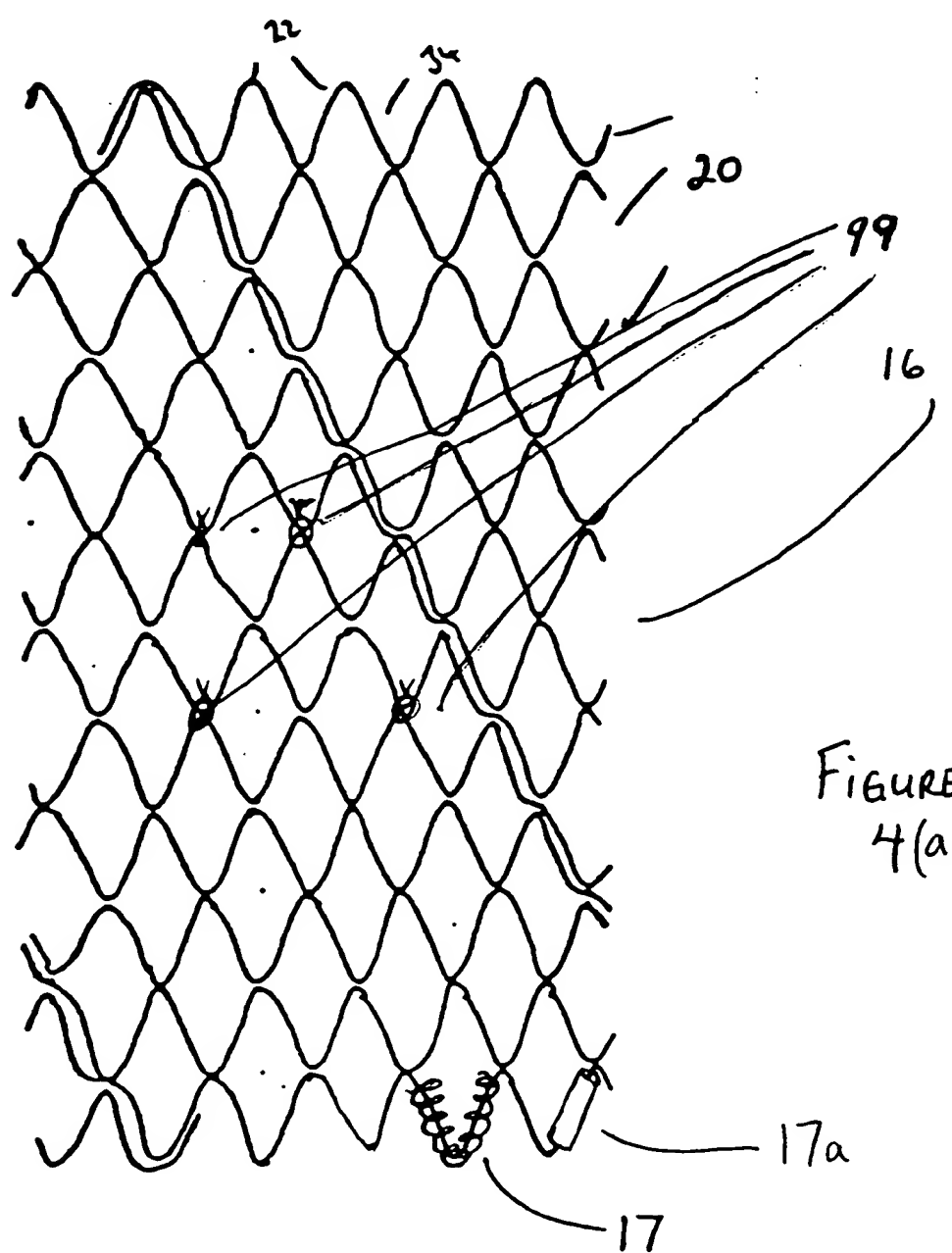


FIGURE  
4(a)



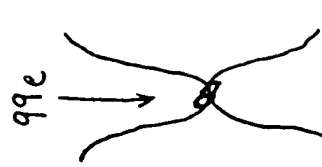


Fig. 4(f)

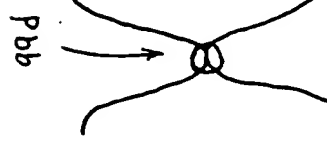


Fig. 4(e)

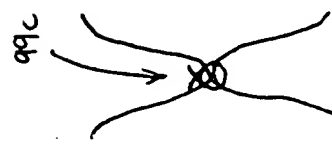


Fig. 4(d)

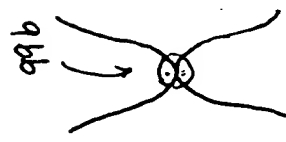


Fig. 4(c)

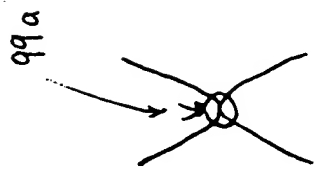
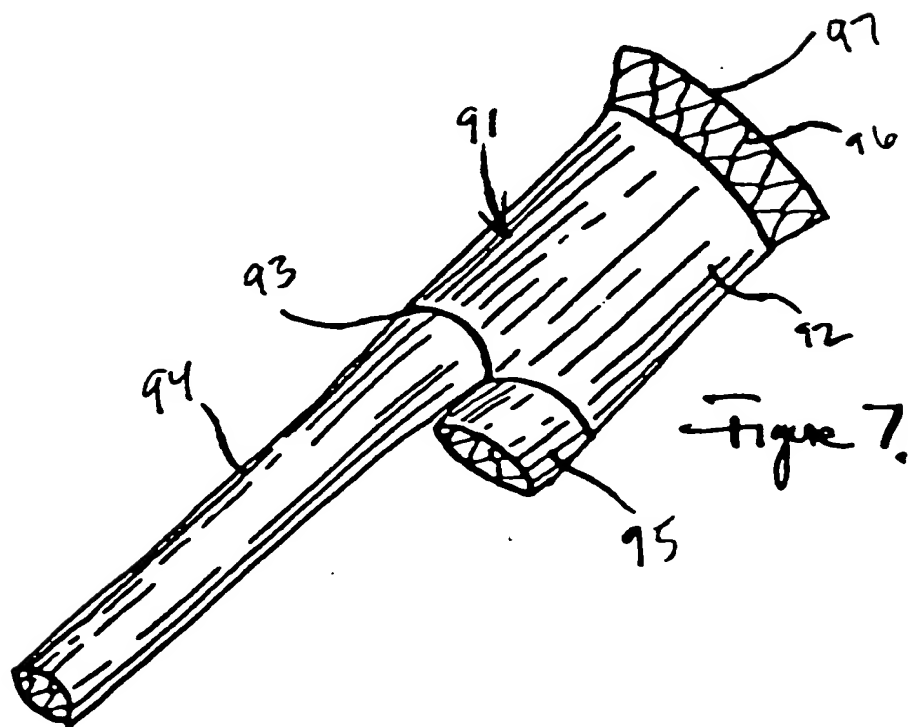
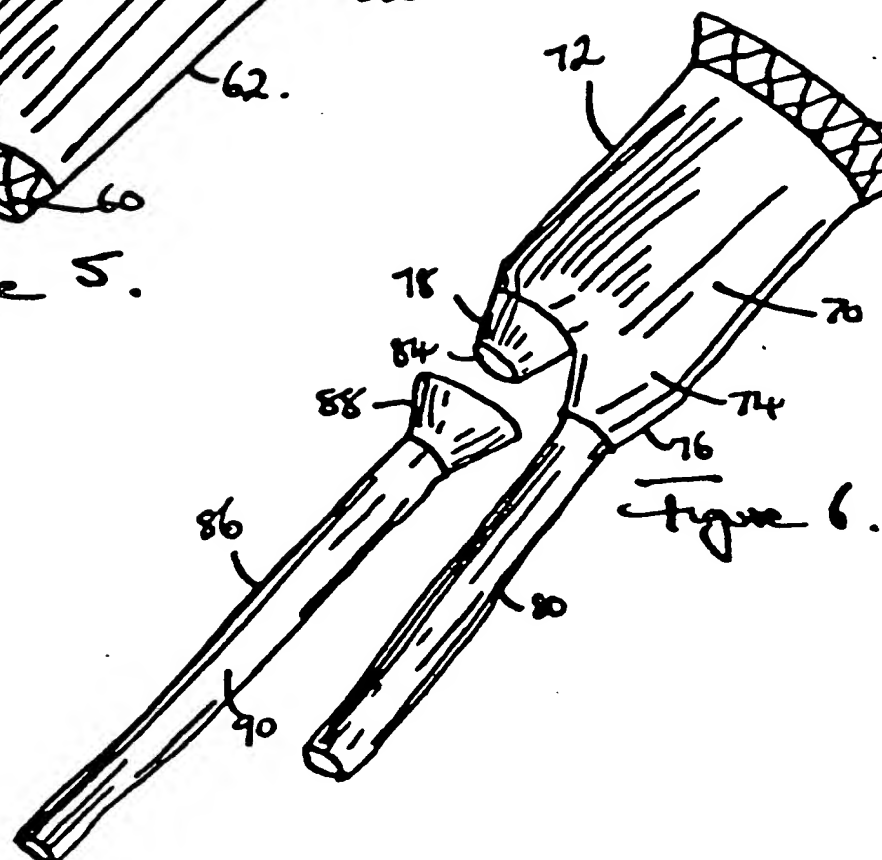
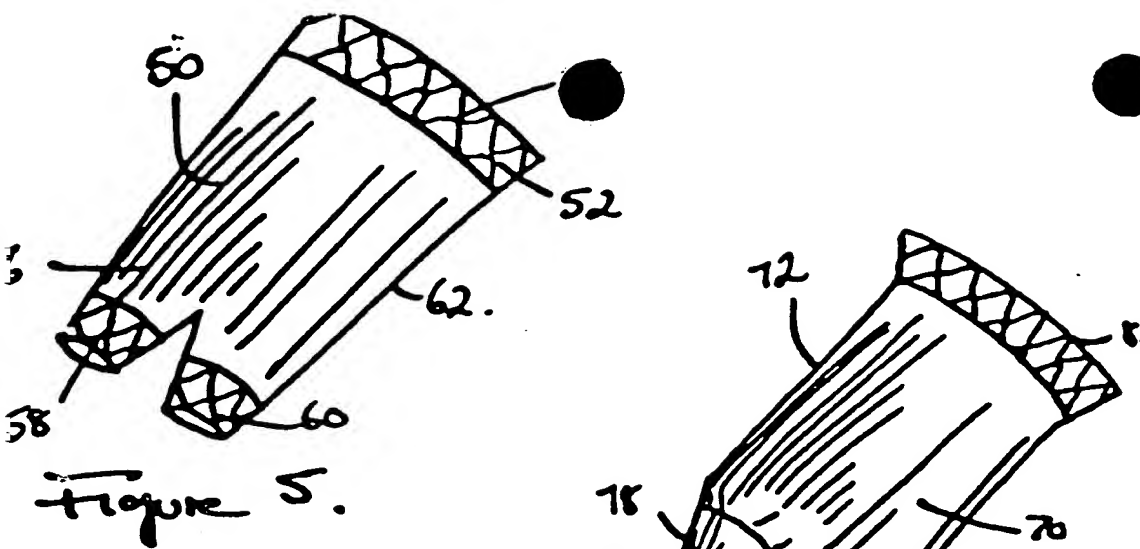
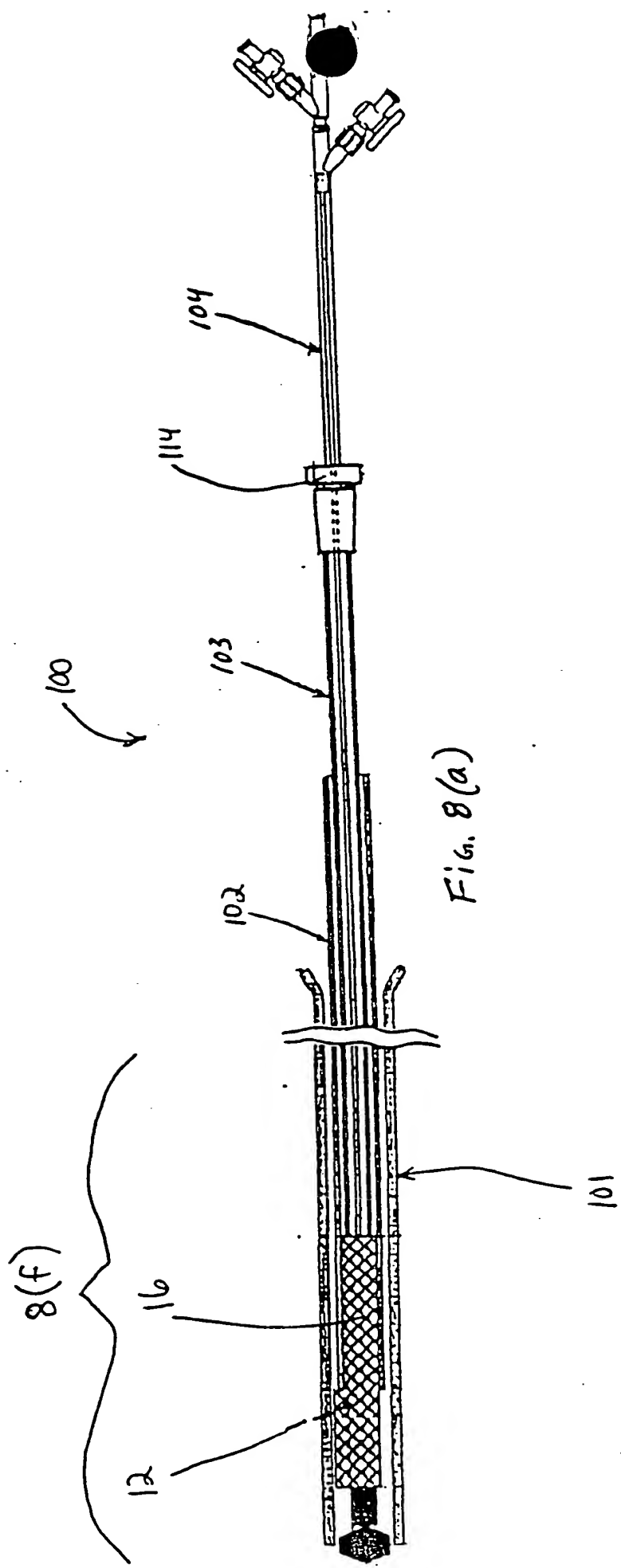


Fig. 4(b)





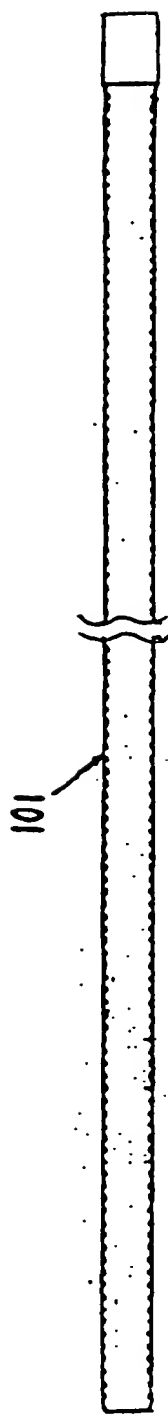


Fig. 8(b)

102

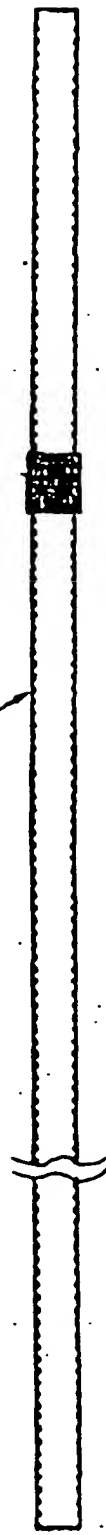
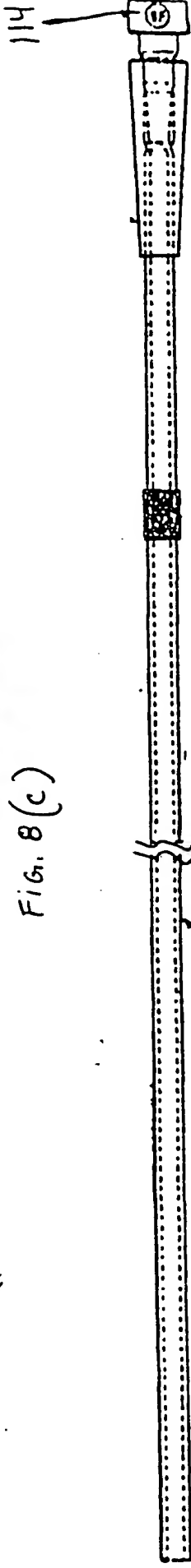
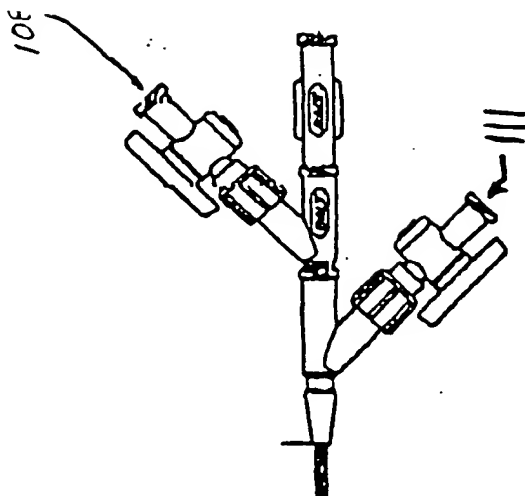


Fig. 8(c)



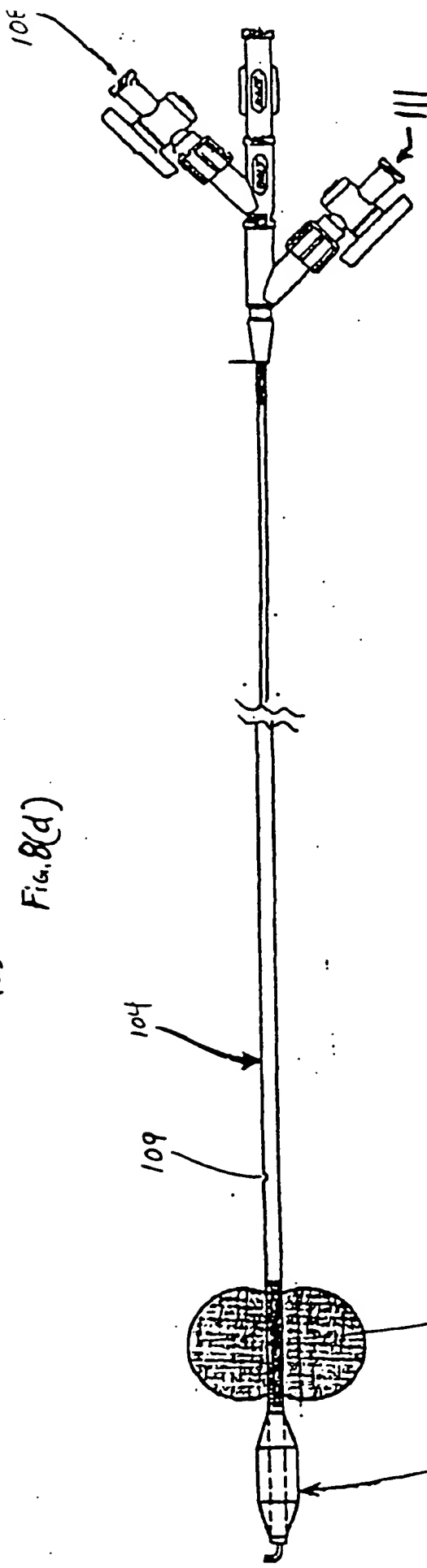
103

Fig. 8(d)



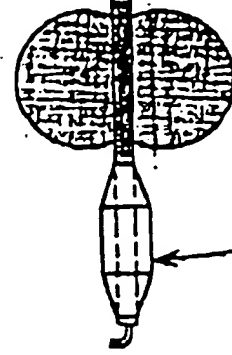
105

Fig. 8(e)



106

Fig. 8(f)



107

Fig. 8(g)

108

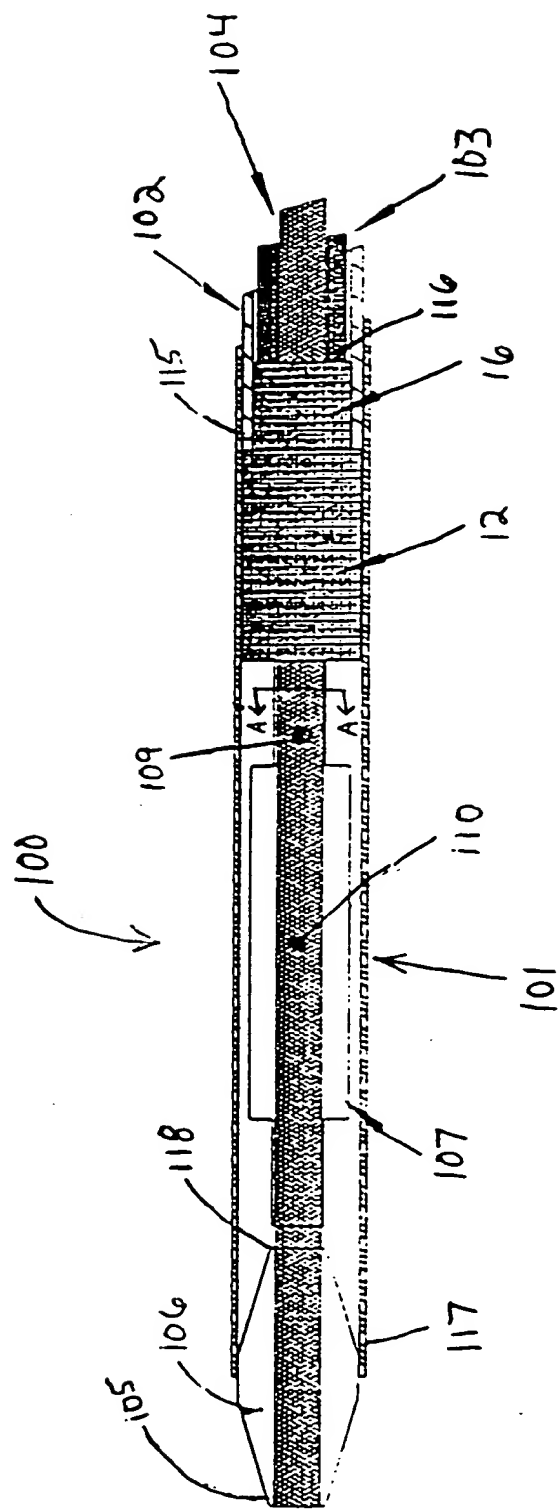


Fig. 8(f)

109a

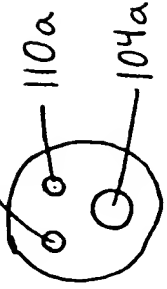


Fig. 8(g)

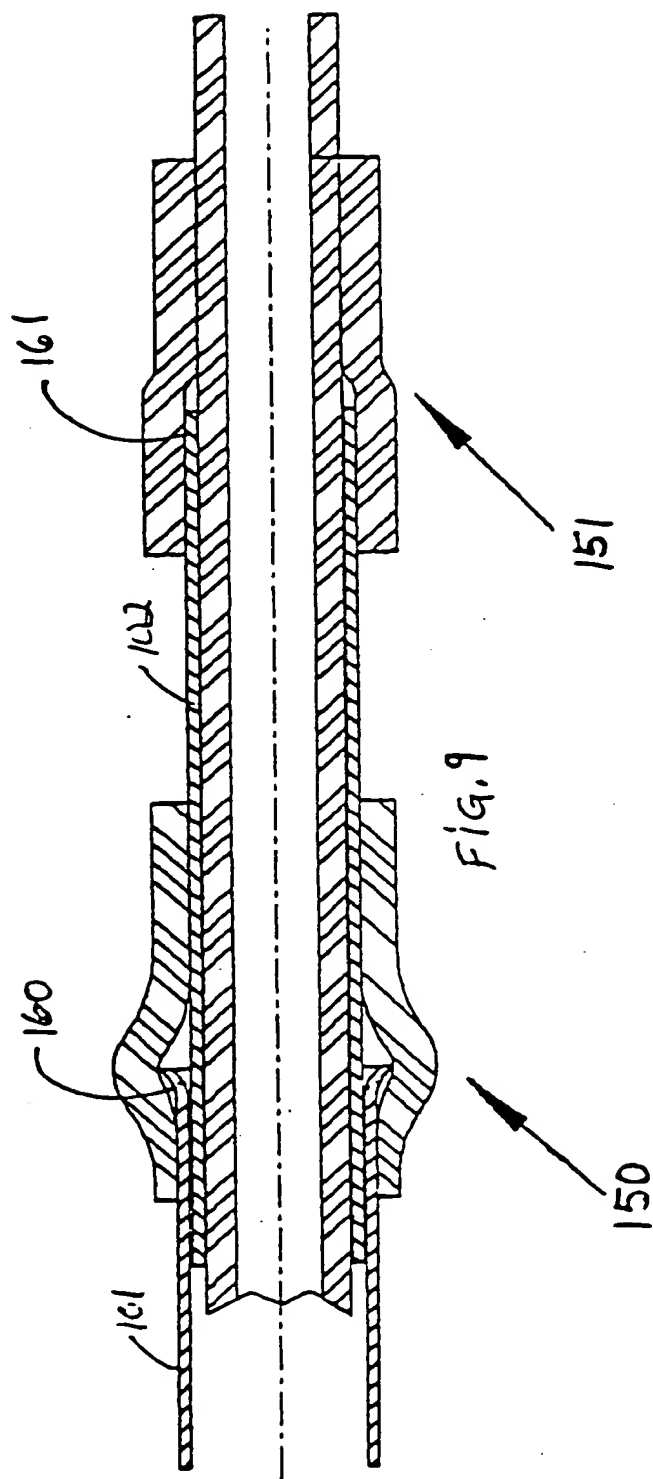
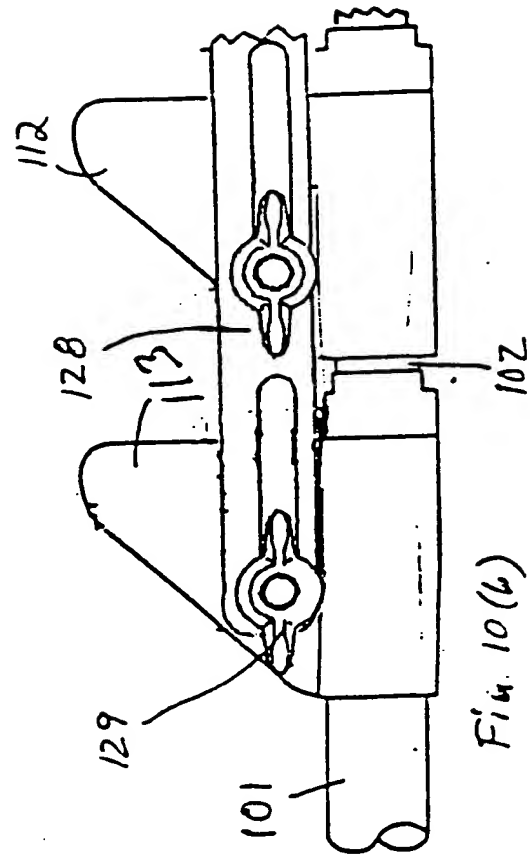
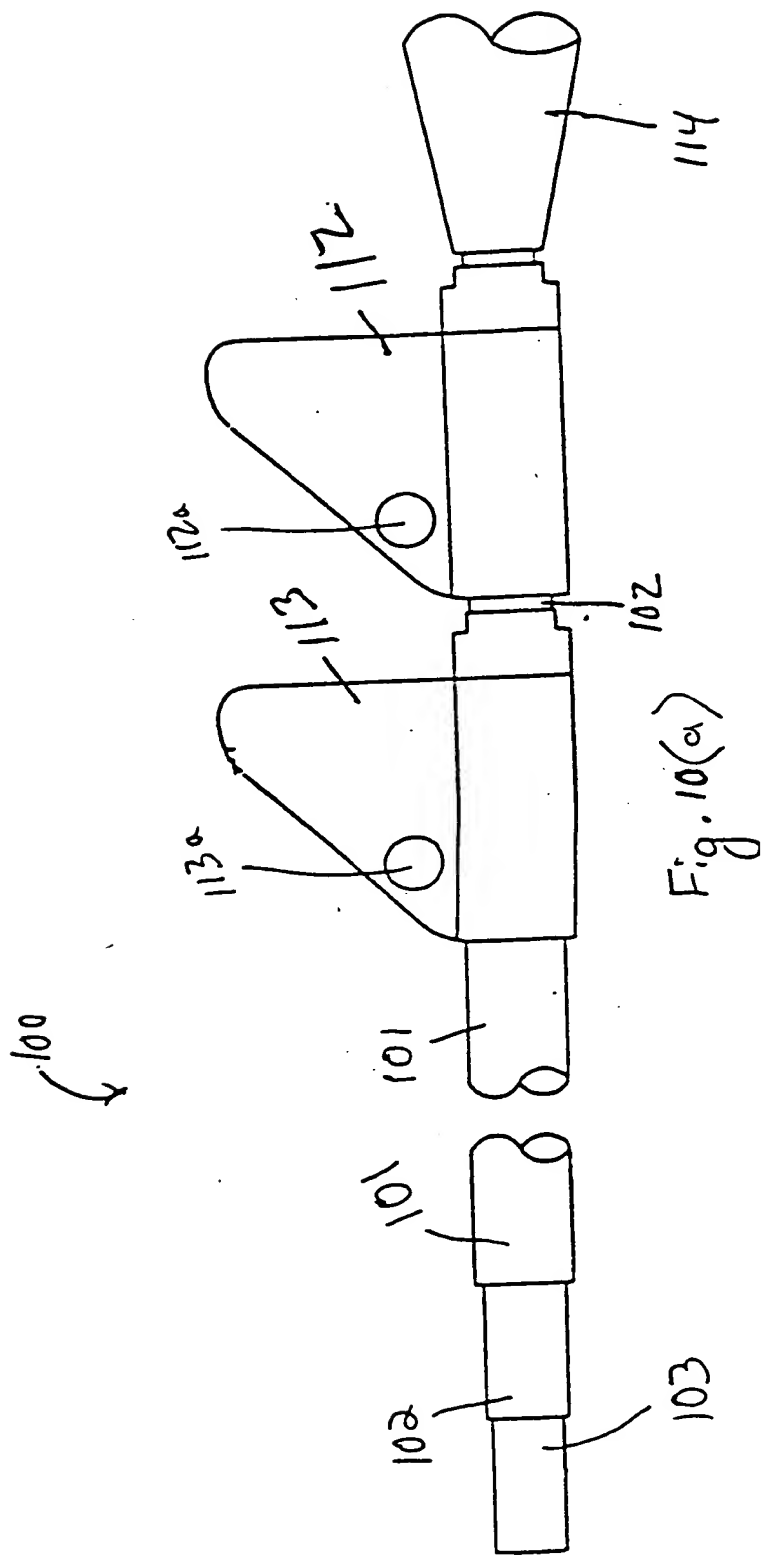


FIG. 9



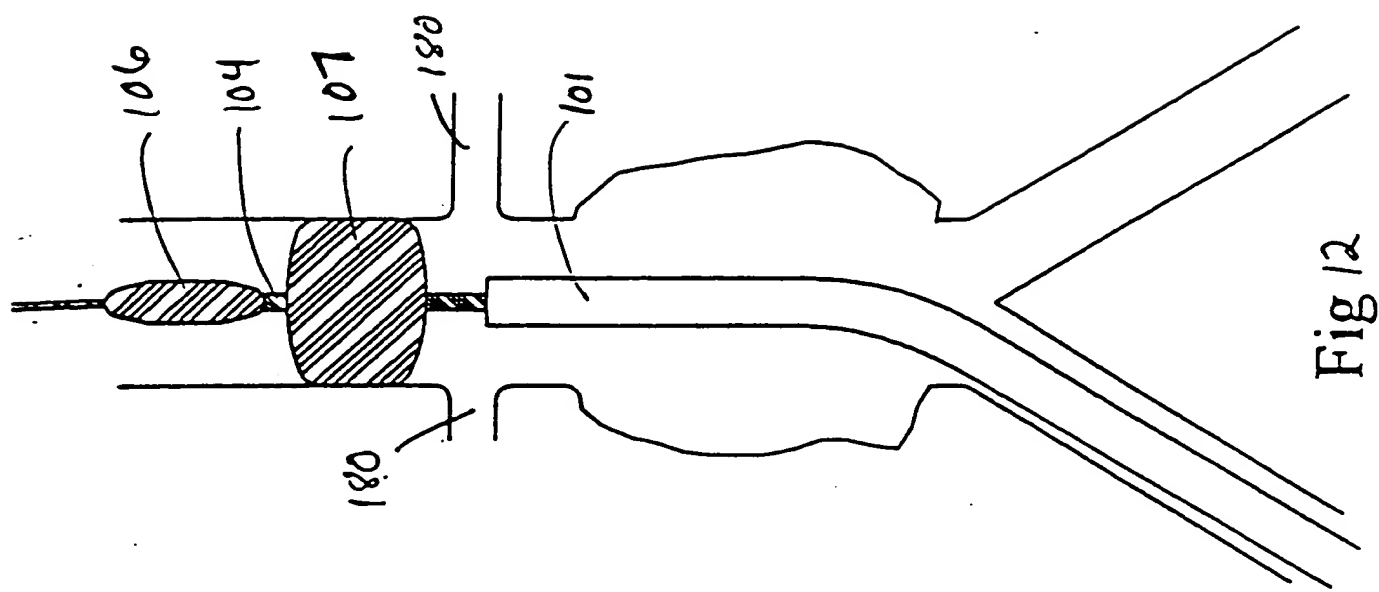


Fig 12

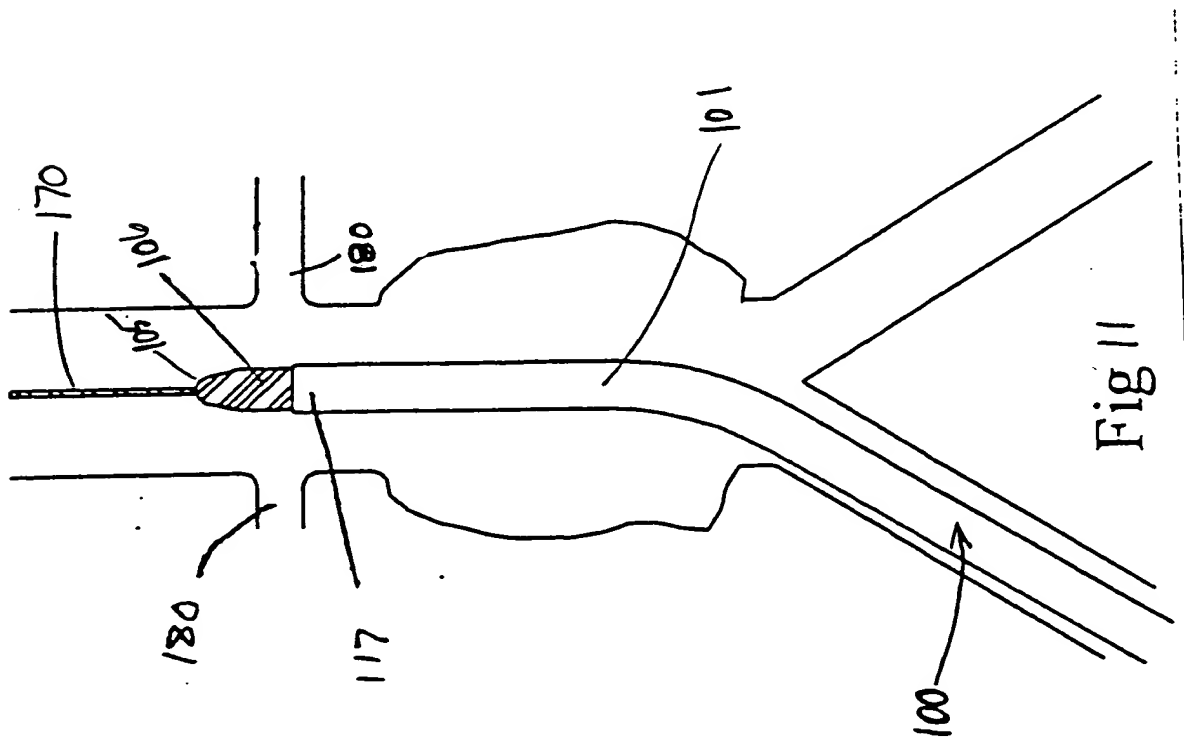


Fig. 11

08/461402

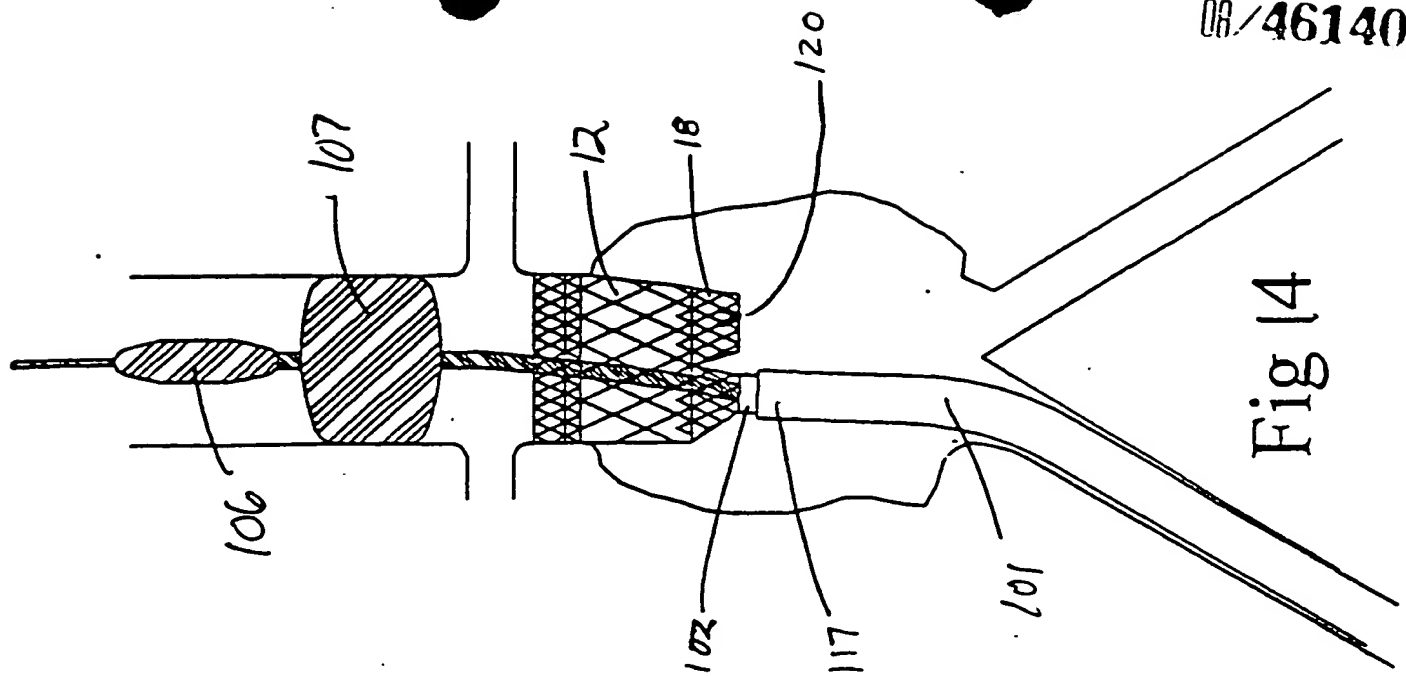
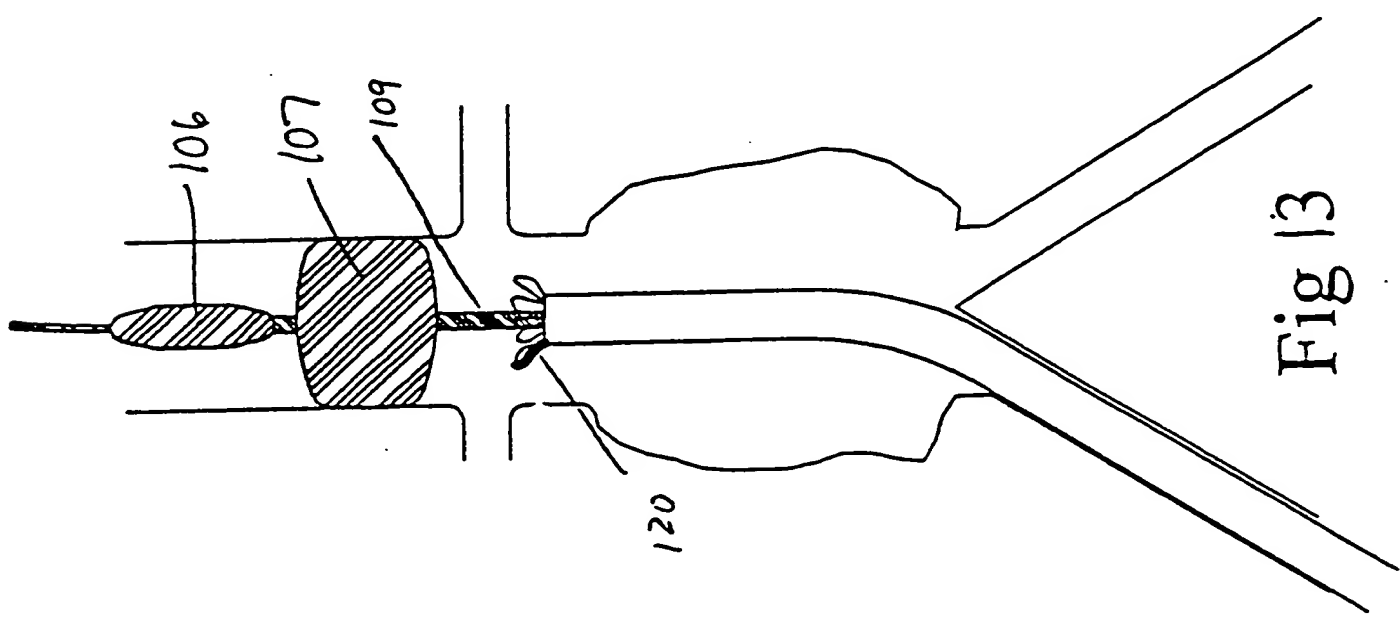
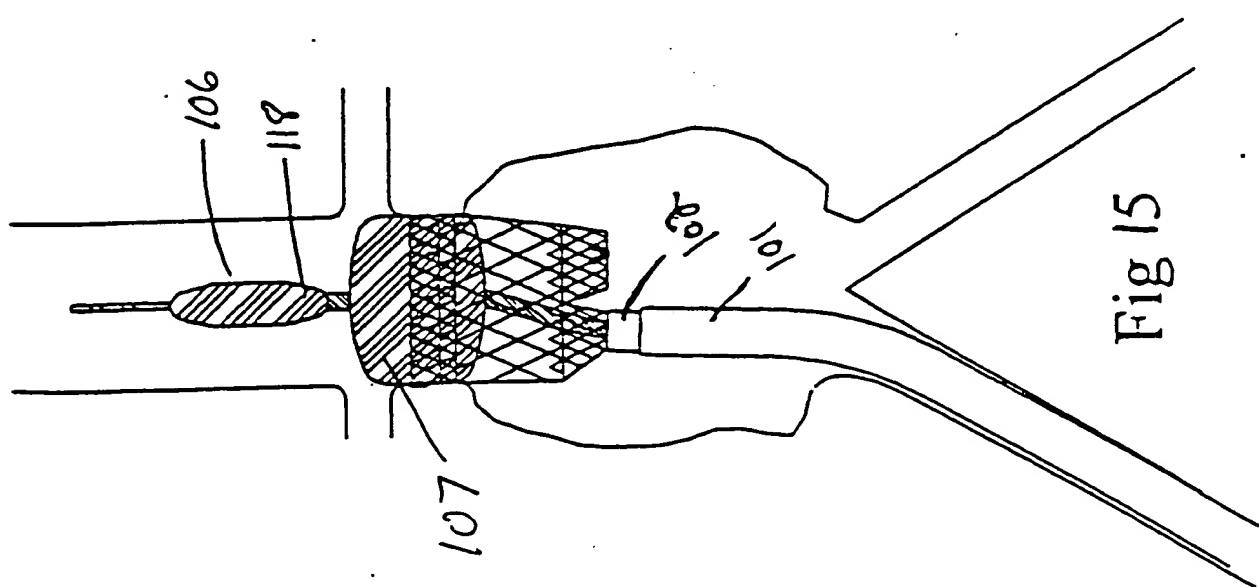
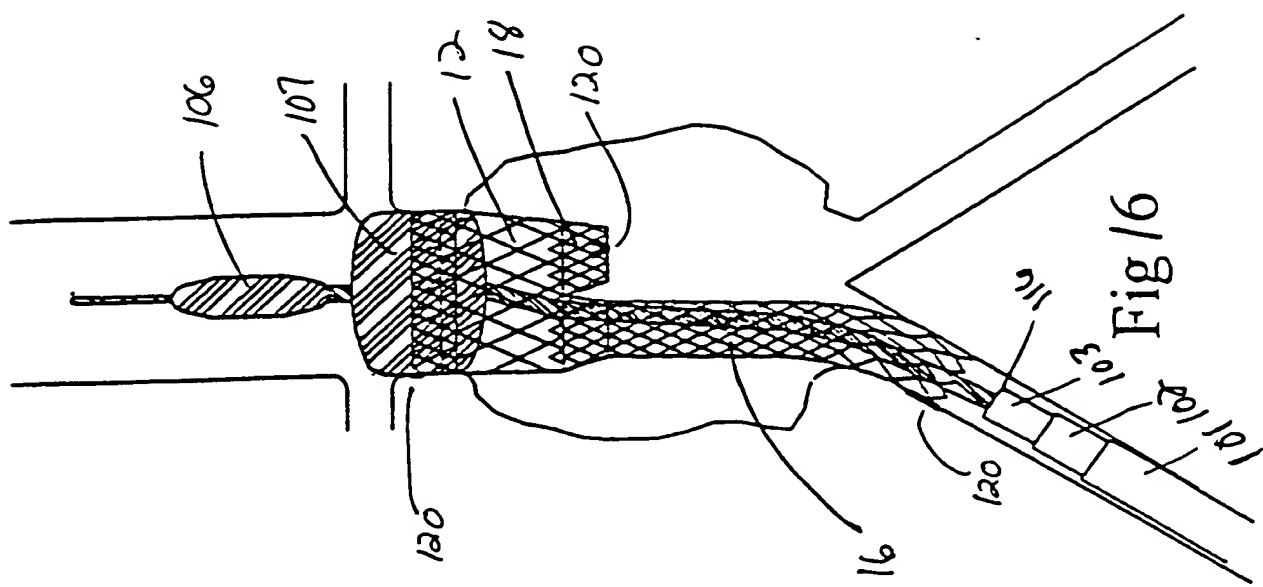
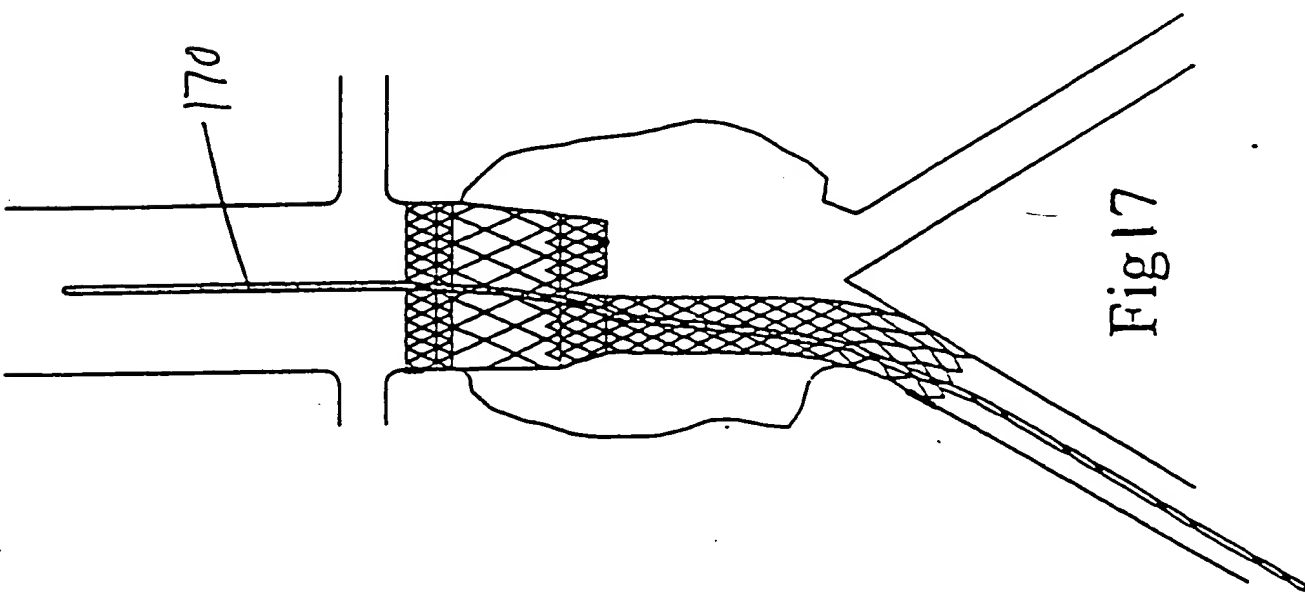
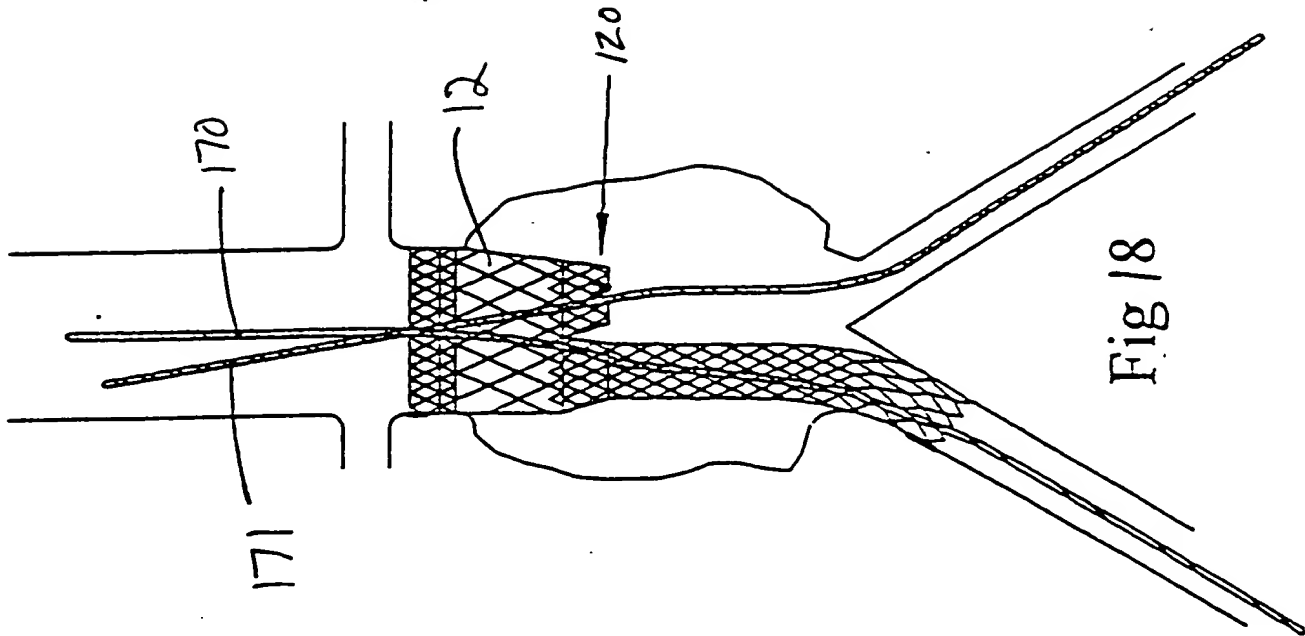
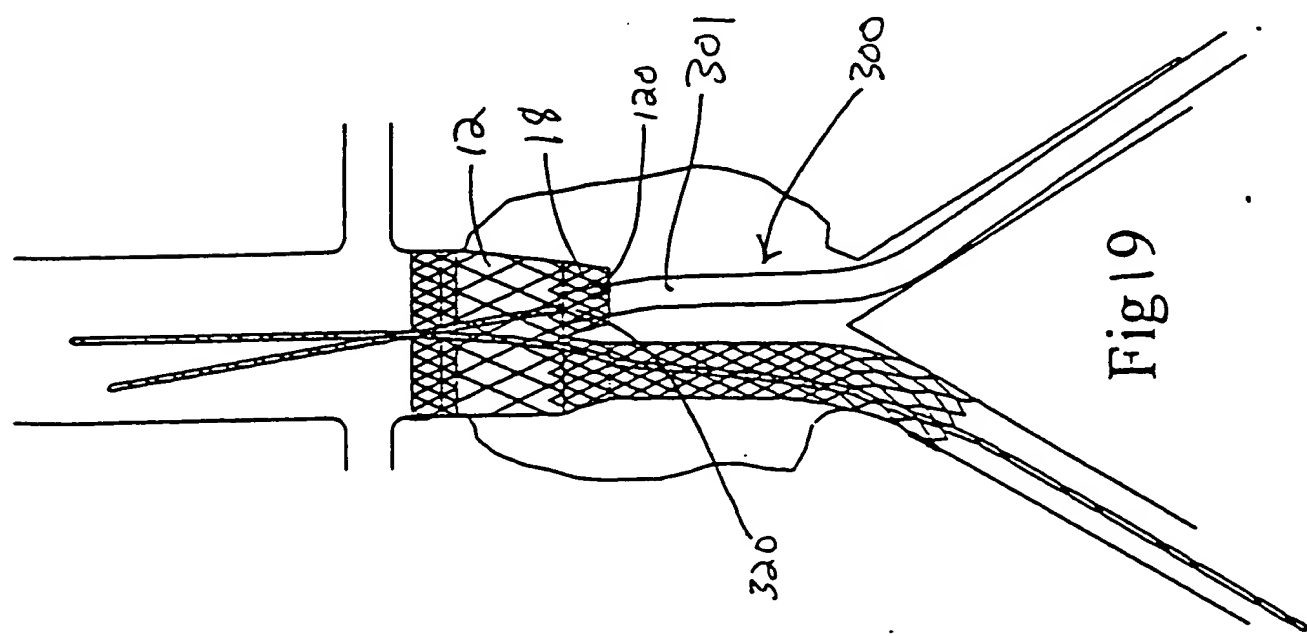
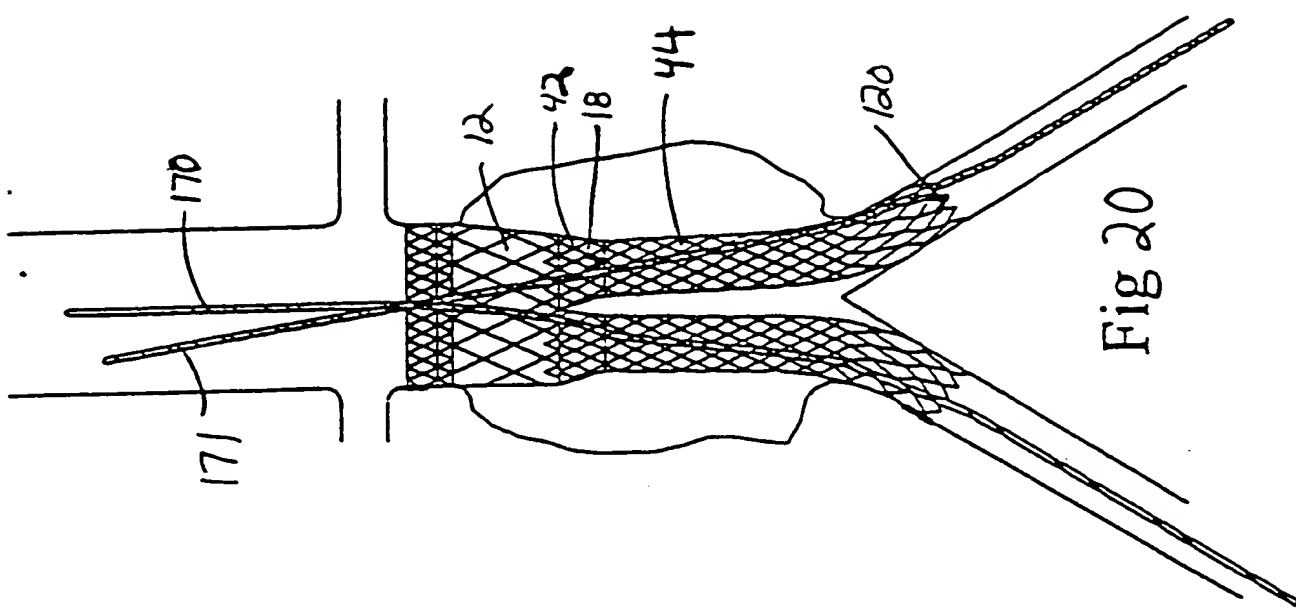


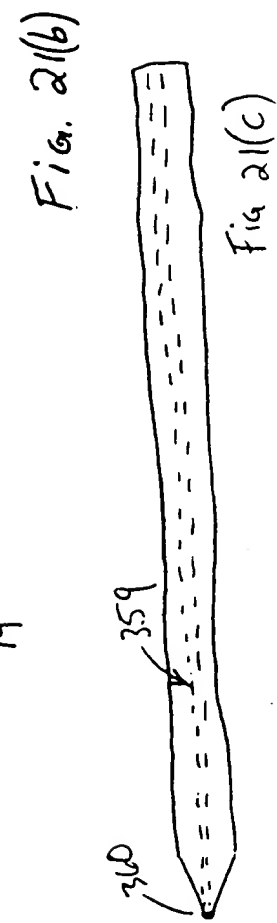
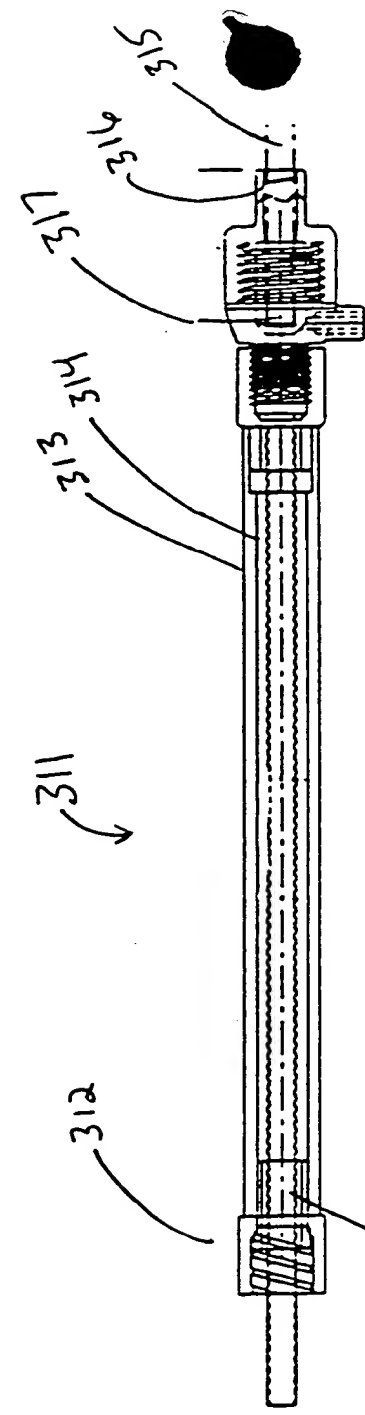
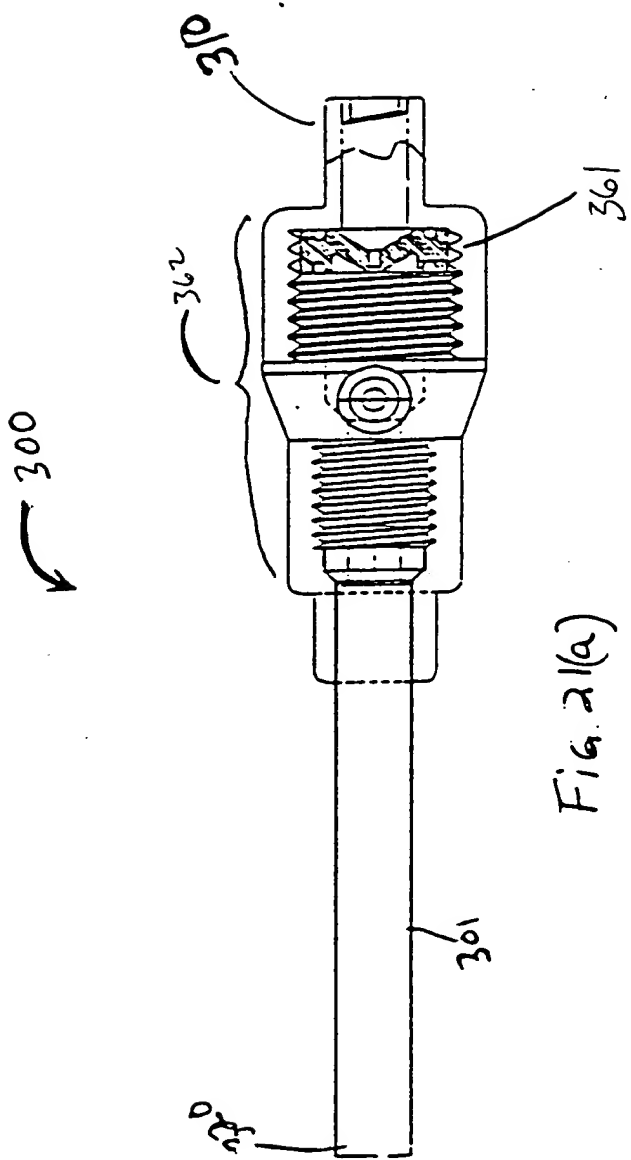
Fig 13











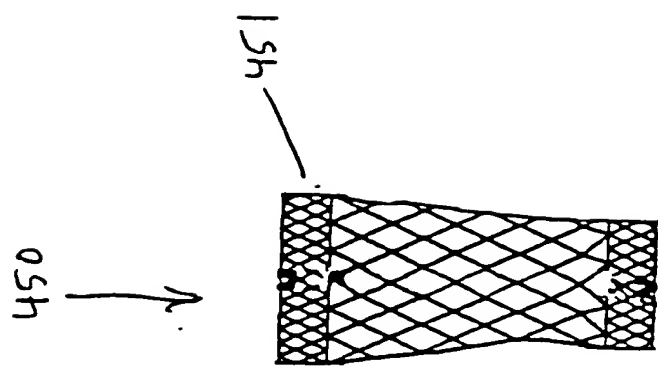


Fig. 23

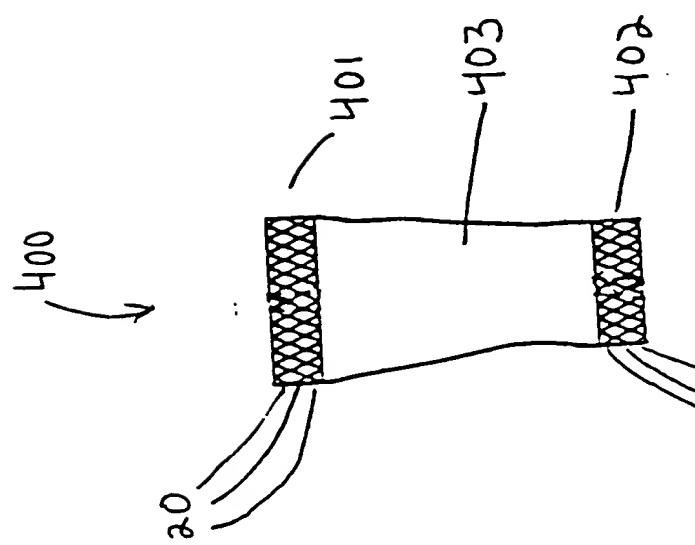


Fig. 22

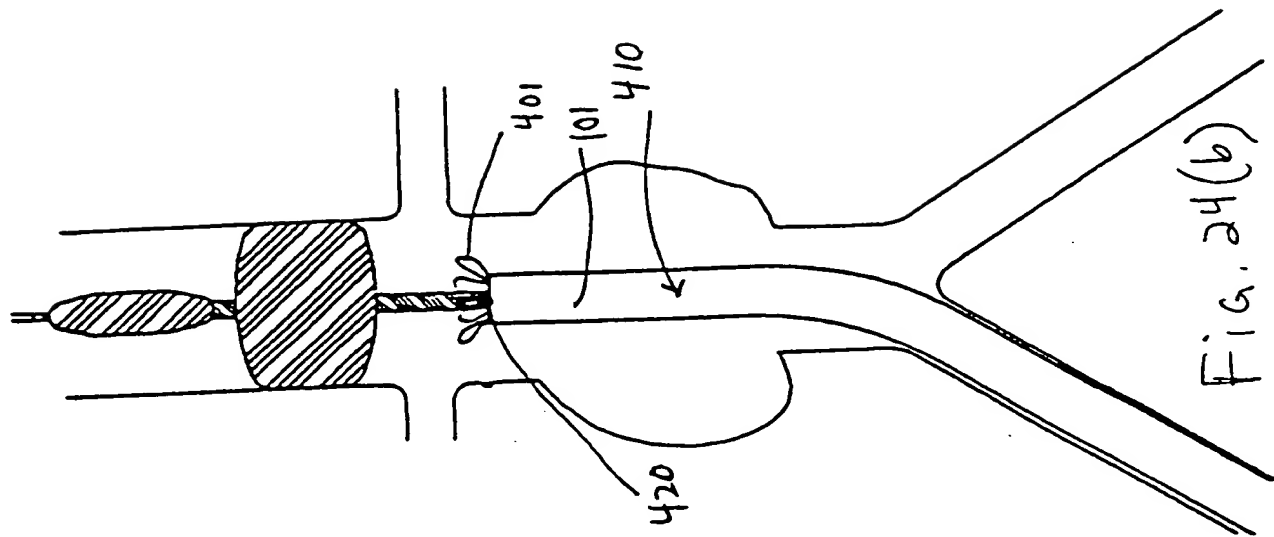
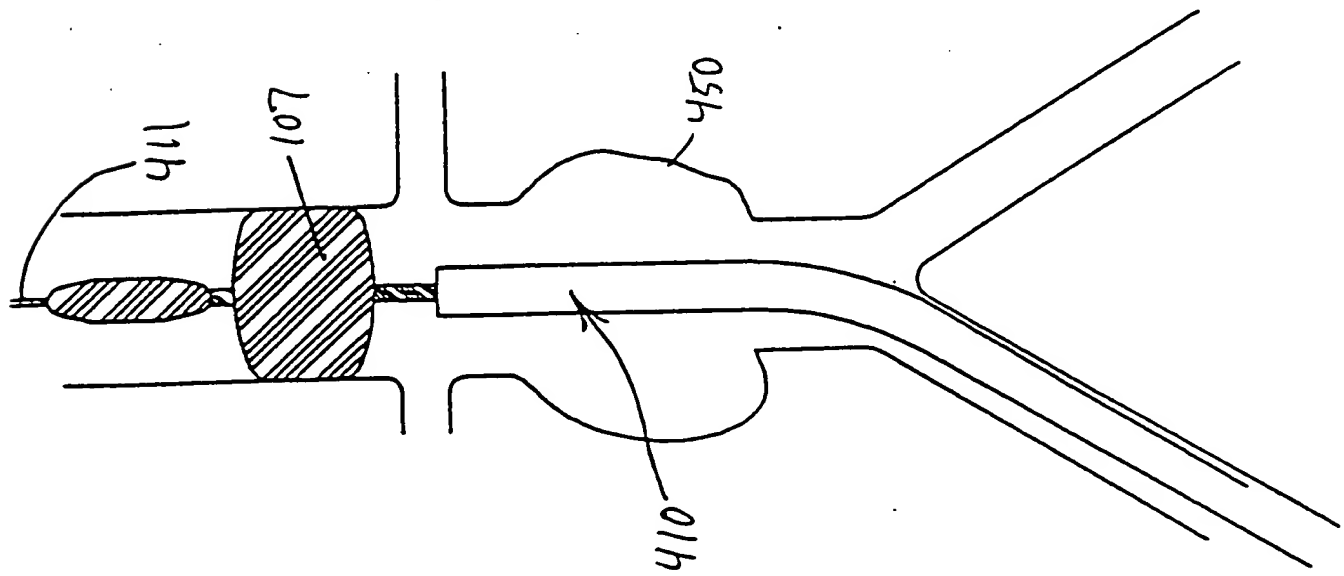


Fig. 24 (a)



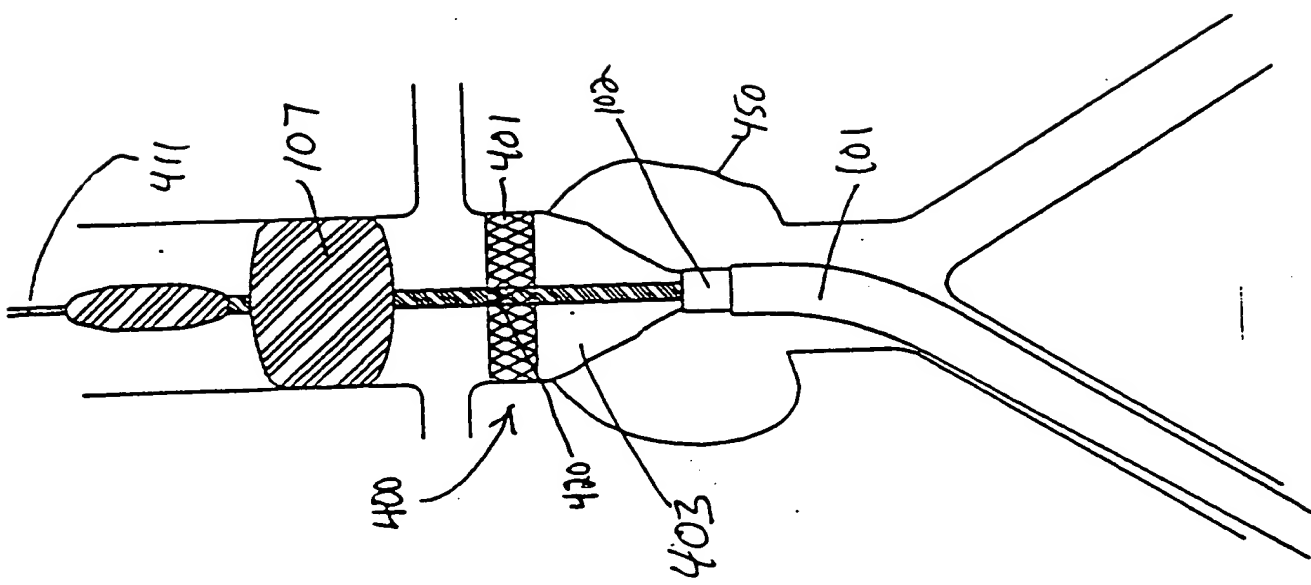


Fig. 25

Fig. 27

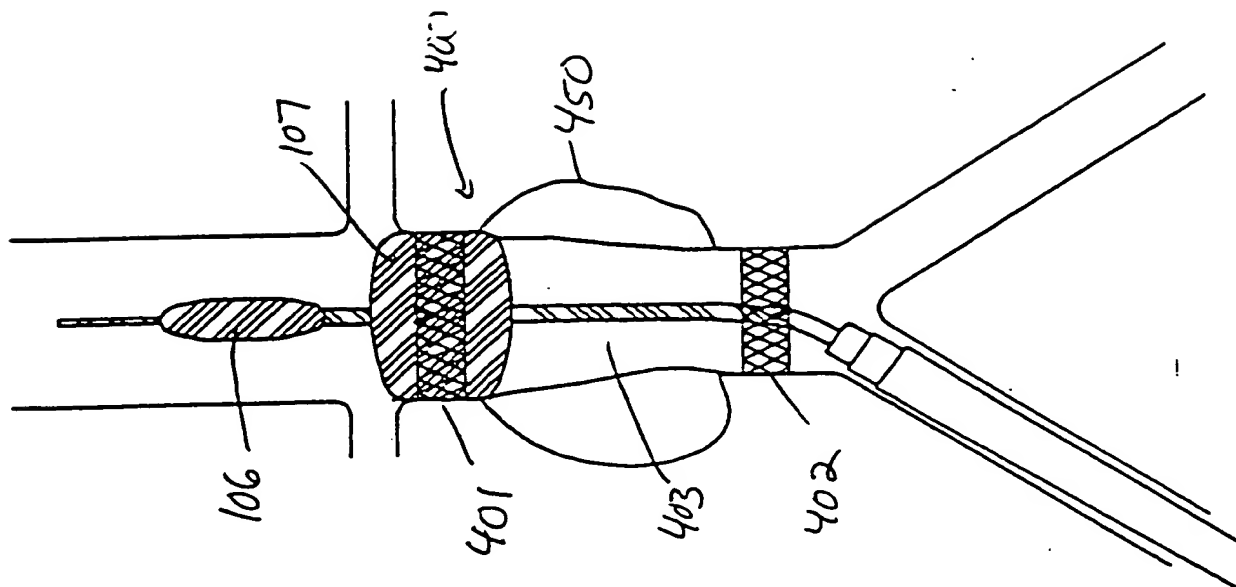
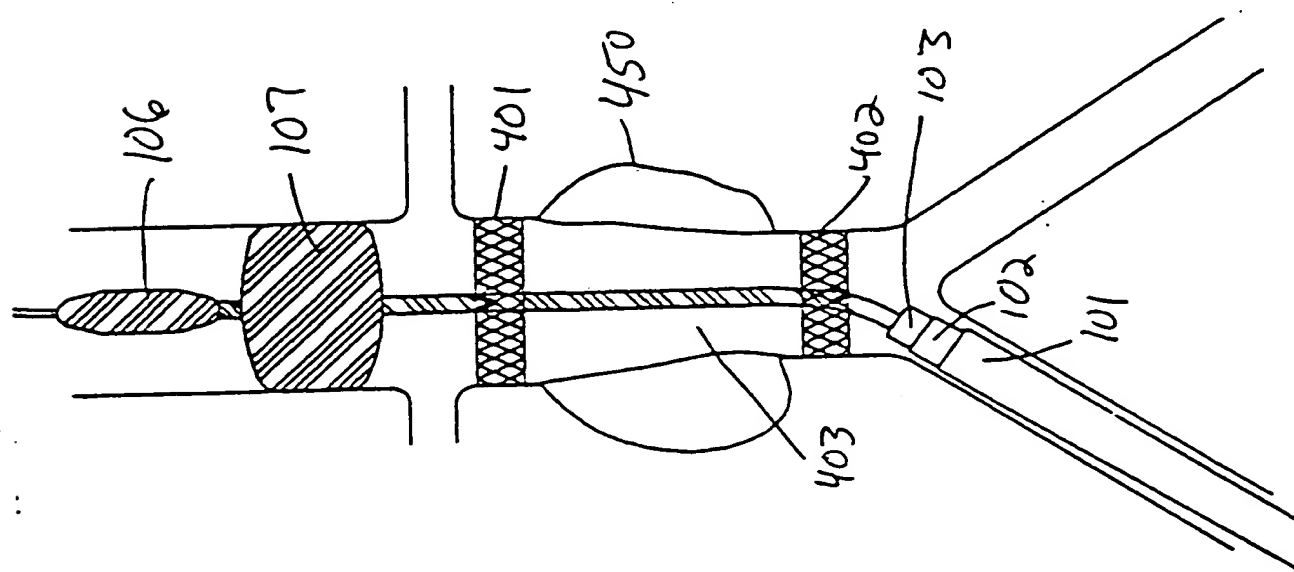
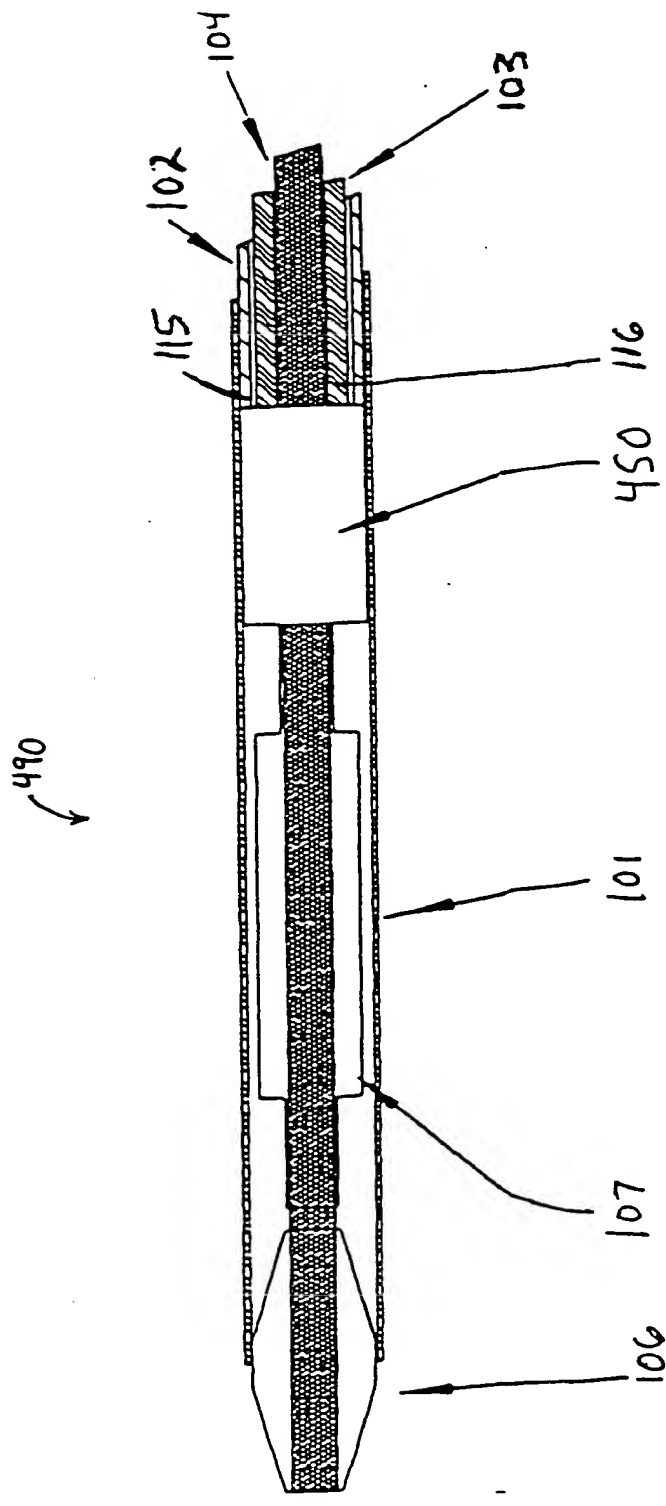
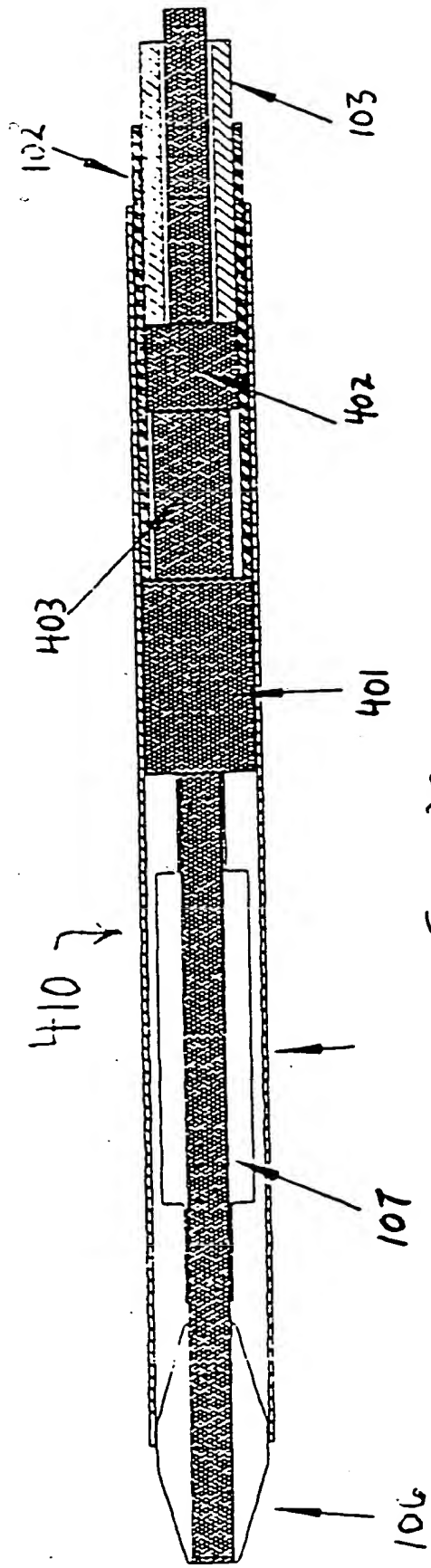
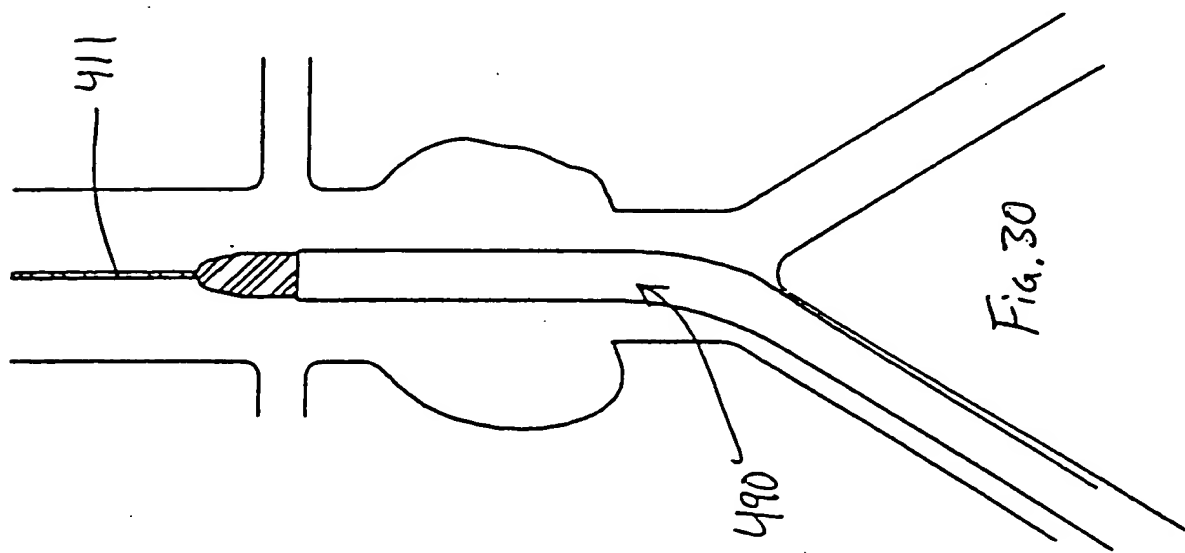
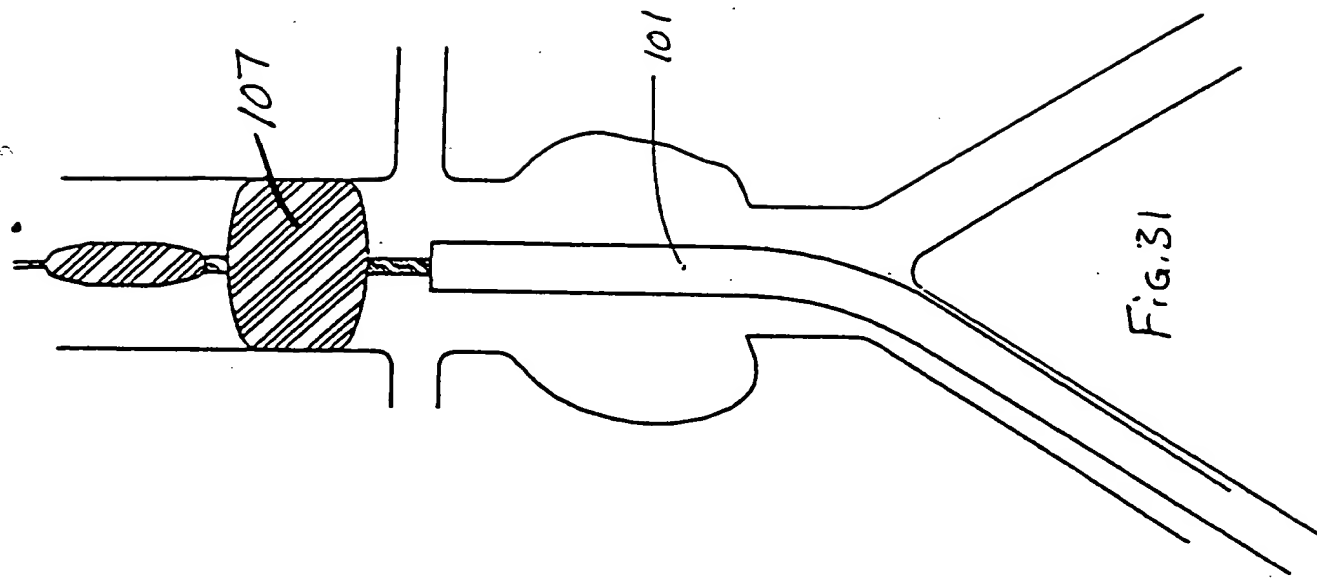


Fig. 26







08/461402

